

DAFTAR PUSTAKA

- Ahmad, W. 2001. *Nickel Laterites: A Training Manual, Chemistry, Mineralogy & Formation of Ni Laterites. Property of PT. INCO for Laterite Ore Manual.*
- Ahmad, W. 2002. *Nickel Laterites-A Short Course: Chemistry, Mineralogy, and Formation of Nickel Laterites.* PT. InCo (tidak diterbitkan)
- Ahmad, W. 2006. *Laterites : Mine Geology at PT. International Nickel Indonesia.* Sorowako, South Sulawesi : PT. International Nickel Indonesia.
- Ahmad, W. 2008. *Nickel Laterites Fundamentals of Chemistry, Mineralogy, Weathering Processes, Formation, and Exploration.* Vale InCO
- Arifin, M., Widodo, S., Anshariah. 2015. *Karakteristik Endapan Nikel Laterit Pada Blok XPT. Bintang Delapan Mineral Kecamatan Bahodopi Kabupaten Morowali Provinsi Sulawesi Tengah.* Journal Geomine. Vol 1.
- Astuti, W, Dkk. 2011. *Prospek Fungal Bioleaching Untuk Pengolahan Bijih Nikel Laterit di Indonesia.* Institut Teknologi Bandung
- Atmadja, R.S. 1974. *Mafic And Ultramafic Rock Associations In The East Arc Of Sulat.* Institut Teknologi Bandung: Vol. 8, No. 2.
- Audley-Charles, M.G., Carter, D.J., Milson, J.S. 1972. *Tectonic Development of Eastern Indonesia in Relation to Gondwana Dispersal.* Nat. Phys. Sci., jl. 239, No.90:35- 39.
- Gill, R. 2010. *Igneous Rocks and Processes. A Practical Guide.* x + 428pp. Wiley-Blackwell.

- Kadarusman, A., Miyashita, S., Maruyama, S., Parkinson, C.D., Ishikawa, A. 2004. *Petrology, geochemistry and plaeogeographic reconstruction of the East Sulawesi Ophiolite, Indonesia. Tectonophysic* 392: 55-83.
- Maulana, A. 2017. *Endapan Mineral*. Yogyakarta : Penerbit Ombak
- McDonough, W.F., dan Rudnick, R.L. 1998. *Mineralogy and Composition of the Uper Mantle, Ultrahigh-Pressure Mineralogy: Physics and Chemistry of the Earth's Deep Interior, Mineralogical Society of America*. New York
- Mubarok, M. Z., Lieberto, J. 2013. *Precipitation of Nickel Hydroxide from Simulated and Atmospheric-leach Solution of Nickel Laterite Ore. Procedia Earth and Planetary Science*, 6, 457–464.
- Palandri, J.L., Red, M.H. 2004. *Geochemical models of metasomatism in ultramafic systems: Serpentinization, rodingitization, and sea floor carbonate chimney precipitation. Geochimica et Cosmochimica Acta*, Vol. 68, No. 5, pp. 1115–1133
- Puspita, R., dkk. 2022. Karakteristik Batuan Ultramafik dan Penyebaran Nikel Laterit pada Daerah Siuna Kecamatan Pagimana Kabupaten Banggai Sulawesi Tengah. *Jurnal Geoelebes* : Vol.6 No.1
- Ringwood, A.E. 1975. *Composition And Petrology of The Earth's Mantle. McGraw- Hill, Inc. The United States Of America*
- Rusmana, E., Koswara, A., Simandjuntak, T.O. 1993. *Peta Geologi Lembar Luwuk 215 – 231 skala 1:250.000*, Pusat Penelitian dan Pengembangan Geologi, Bandung.

- Santos-Ynigo, Esguerra. 1961. *Limestone Spesification, Limiting Constrants on The marked industrial mineral.*
- Streckeisen, A.L., Le Bas, M.J. 1976. *The IUGS Systematic of Igneous Rocks.* Department of Geology, University of Leicester, LE1 7RH, UK and Manuelstrasse 78, Berne, CH-3006, Switzerland, Journal of the Geological Society, London, Vol. 148, 1991, pp. 825-833, 8 figs, 2 tables. Printed in Northern Ireland.
- Sutisna, D.T., dkk. 2006 *Perencanaan Eksplorasi Cebakan Nikel Laterit di Daerah Wayamli, Teluk Buli, Halmahera Timur sebagai Model Perencanaan Eksplorasi Cebakan Nikel Laterit di Indonesia. Buletin Sumber Daya Geologi.* Volume 1. Nomor 3.
- Sukamto, R. 1975. Perkembangan tektonik di Sulawesi dan daerah sekitarnya, suatu sintesis perkembangan berdasarkan tektonik lempeng. *Geologi Indonesia* 2: 1-13.
- Williams, H., F.J. Turner, C.M. Gilbert. 1954. *Petrography, An Introduction to The Study of Rock in Thin Sections,* W.H. Freeman and Company, New York, U.S.A.

LAMPIRAN

DATA ASSAY

HOLE	No Conto	From	To	Lith Assay	Ni	Co	Fe	MgO	SiO
KS009	KS00901	0,00	1,20	LIM	0,47	0,12	45,45	0,62	6,48
	KS00902	1,20	2,00	LIM	0,70	0,19	48,22	0,72	3,29
	KS00903	2,00	3,00	LIM	0,71	0,17	49,98	0,73	2,26
	KS00904	3,00	4,00	LIM	0,70	0,23	47,58	1,11	5,29
	KS00905	4,00	5,00	LIM	1,80	0,07	29,76	5,04	32,15
	KS00906	5,00	6,00	SAP	2,64	0,02	11,20	23,78	41,38
	KS00907	14,40	15,30	SAP	0,96	0,01	8,11	24,75	42,04
	KS00908	15,30	16,00	SAP	0,86	0,02	9,83	22,70	44,08
	KS00909	16,00	17,00	SAP	0,61	0,01	7,78	29,77	43,05
	KS00910	17,00	18,00	SAP	0,47	0,01	8,27	28,48	44,15
	KS00911	18,00	19,00	SAP	0,38	0,01	7,36	29,95	44,27
	KS00912	19,00	20,00	SAP	0,60	0,01	9,48	22,36	45,22
	KS00913	20,00	21,00	SAP	0,29	0,01	6,42	33,85	41,34
	KS00914	21,00	22,00	BR	0,25	0,01	6,33	34,43	42,29
	KS00915	22,00	23,00	BR	0,21	0,01	5,29	36,45	41,77
KS010	KS01001	0,00	1,00	LIM	0,59	0,06	43,85	0,39	7,09
	KS01002	1,00	2,00	LIM	0,90	0,17	45,60	0,53	4,57
	KS01003	2,00	3,00	LIM	1,14	0,20	47,51	0,67	3,44
	KS01004	3,00	4,00	LIM	0,89	0,12	50,80	0,70	2,40
	KS01005	4,00	5,00	LIM	1,04	0,16	51,04	0,79	2,54
	KS01006	5,00	6,00	LIM	1,08	0,25	49,92	0,69	2,49
	KS01007	6,00	7,00	LIM	1,22	0,19	47,39	1,19	5,33
	KS01008	7,00	8,30	LIM	1,08	0,18	42,42	2,15	9,76
	KS01009	8,30	9,00	SAP	2,31	0,07	23,84	7,54	39,66
	KS01010	9,00	10,00	SAP	2,54	0,04	17,52	15,96	35,79
	KS01011	10,00	11,00	SAP	1,77	0,09	27,68	8,19	23,84
	KS01012	11,00	12,30	SAP	1,68	0,01	7,00	31,96	40,73
	KS01013	12,30	13,00	SAP	1,15	0,02	11,56	24,54	42,29
	KS01014	13,00	14,00	SAP	0,44	0,02	12,11	22,41	44,02
	KS01015	14,00	15,00	SAP	0,39	0,01	7,71	30,73	41,68
	KS01016	15,00	16,00	SAP	0,84	0,01	9,42	26,05	43,70
	KS01017	16,00	17,00	SAP	0,96	0,02	12,52	17,19	59,20
	KS01018	17,00	18,00	SAP	1,12	0,01	8,92	21,36	50,77
	KS01019	18,00	19,00	SAP	1,10	0,01	9,95	20,04	50,51

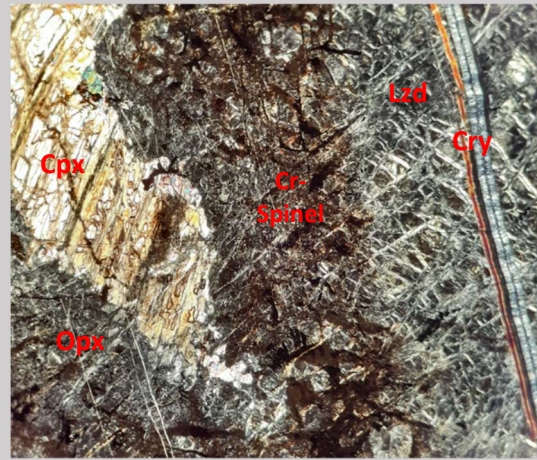
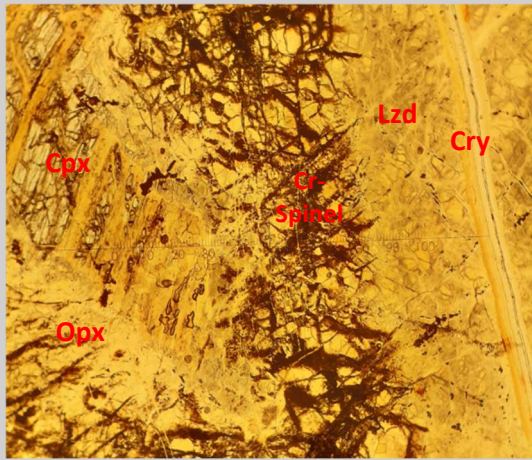
HOLE	No Conto	From	To	Lith Assay	Ni	Co	Fe	MgO	SiO
	KS01020	19,00	20,00	SAP	1,72	0,02	11,75	17,09	50,75
	KS01021	20,00	20,70	SAP	0,45	0,01	6,56	28,44	46,15
	KS01022	20,70	22,00	SAP	0,62	0,02	11,54	20,19	48,67
	KS01023	22,00	23,00	SAP	0,37	0,01	8,37	23,31	47,74
	KS01024	23,00	24,00	SAP	0,33	0,01	8,04	26,38	51,71
	KS01025	24,00	25,00	SAP	0,39	0,01	9,53	20,90	52,13
	KS01026	25,00	26,00	SAP	0,37	0,01	9,33	23,40	54,72
	KS01027	26,00	27,00	BR	0,24	0,01	5,93	30,65	39,31
KS011	KS01101	0,00	1,00	LIM	0,57	0,05	43,88	0,38	7,07
	KS01102	1,00	2,00	LIM	0,72	0,10	45,79	0,34	3,98
	KS01103	2,00	3,00	LIM	0,80	0,20	44,90	0,42	5,15
	KS01104	3,00	4,00	LIM	0,77	0,10	46,41	0,53	4,67
	KS01105	4,00	5,00	LIM	0,61	0,08	34,10	0,58	14,84
	KS01106	5,00	6,00	LIM	1,06	0,16	43,80	0,62	8,02
	KS01107	6,00	7,00	LIM	1,32	0,25	45,59	1,15	5,95
	KS01108	7,00	8,00	LIM	1,61	0,13	33,19	3,71	17,47
	KS01109	8,00	9,00	LIM	1,85	0,12	37,64	2,89	18,53
	KS01110	9,00	10,00	LIM	1,43	0,13	47,69	1,26	7,48
	KS01111	10,00	11,00	LIM	2,05	0,06	28,95	10,47	28,15
	KS01112	11,00	12,00	LIM	2,25	0,07	26,85	6,98	36,16
	KS01113	12,00	13,00	LIM	1,97	0,06	30,65	5,81	27,24
	KS01114	13,00	13,70	LIM	1,75	0,05	30,70	5,17	31,11
	KS01115	13,70	15,00	SAP	1,94	0,04	18,74	13,33	43,11
	KS01116	15,00	16,00	SAP	1,59	0,02	11,09	24,89	41,90
	KS01117	16,00	17,00	SAP	0,79	0,02	8,85	29,06	42,02
	KS01118	17,00	18,00	SAP	0,35	0,02	8,45	29,95	42,74
	KS01119	18,00	19,00	SAP	0,75	0,02	8,65	28,47	41,82
	KS01120	19,00	20,00	SAP	1,59	0,03	11,92	22,68	42,53
	KS01121	20,00	21,00	SAP	1,70	0,02	8,48	29,48	41,81
	KS01122	21,00	22,00	SAP	1,00	0,02	10,50	26,17	41,87
	KS01123	22,00	23,00	SAP	0,22	0,01	5,87	32,98	40,88
	KS01124	23,00	24,00	SAP	0,27	0,01	6,89	33,03	42,01
	KS01125	24,00	25,00	SAP	0,29	0,01	6,98	33,05	41,57
	KS01126	25,00	26,00	SAP	0,19	0,01	5,85	30,48	38,64
	KS01127	26,00	27,00	SAP	0,24	0,01	5,77	34,70	40,37

HOLE	No Conto	From	To	Lith Assay	Ni	Co	Fe	MgO	SiO
	KS01128	27,00	28,00	SAP	0,23	0,01	5,61	36,09	40,29
	KS01129	28,00	29,00	SAP	0,23	0,01	5,59	36,08	40,48
	KS01130	29,00	30,00	SAP	0,22	0,01	5,31	36,66	40,47
	KS01131	30,00	31,00	SAP	0,21	0,01	5,27	37,05	39,90
	KS01132	31,00	32,00	SAP	0,22	0,01	5,35	36,90	40,23
	KS01133	32,00	33,00	SAP	0,21	0,01	5,20	36,63	40,69
	KS01134	33,00	34,00	SAP	0,44	0,01	5,45	36,65	40,92
	KS01135	34,00	35,00	BR	0,35	0,01	5,47	36,46	40,27
	KS01136	35,00	36,00	BR	0,21	0,01	5,04	36,76	41,17
KS012	KS01201	0,00	1,00	LIM	1,08	0,104	42,054	2,57	13,28
	KS01202	1,00	2,00	SAP	1,67	0,0567	23,62	15,62	29,03
	KS01203	2,00	3,00	SAP	2,48	0,0138	11,658	24,8	37,59
	KS01204	3,00	4,00	SAP	2,57	0,0197	10,071	25,07	41,58
	KS01205	4,00	5,00	SAP	2,42	0,0294	14,274	23,2	38,62
	KS01206	5,00	6,00	SAP	2,06	0,0174	8,392	26,33	45,89
	KS01207	6,00	7,00	SAP	0,902	0,0114	5,175	32,67	43,64
	KS01208	7,00	8,00	SAP	1,5	0,0283	9,19	23,7	49,51
	KS01209	8,00	9,00	SAP	1,99	0,0208	6,37	29,75	44,39
	KS01210	9,00	10,00	BRK	0,21	0,01	5,46	35,47	41,83
	KS01211	10,00	11,00	BRK	0,216	0,011	5,39	36,08	41,73
KS013	KS01301	0,00	1,00	LIM	0,66	0,07	39,32	2,01	16,61
	KS01302	1,00	2,00	LIM	0,76	0,07	38,32	1,94	17,45
	KS01303	2,00	3,00	LIM	1,33	0,05	27,92	5,65	33,56
	KS01304	3,00	4,00	SAP	1,56	0,03	19,99	8,65	46,24
	KS01305	4,00	5,00	SAP	1,41	0,03	17,87	10,47	47,63
	KS01306	5,00	5,70	SAP	1,28	0,02	10,94	25,19	42,36
	KS01307	5,70	7,00	SAP	0,36	0,01	6,63	32,05	41,82
	KS01308	7,00	8,00	SAP	0,24	0,01	6,13	34,14	40,87
	KS01309	8,00	8,75	SAP	0,50	0,02	12,22	22,75	45,46
	KS01310	8,75	10,00	SAP	0,30	0,01	7,20	32,37	42,38
	KS01311	10,00	11,00	SAP	0,28	0,01	6,21	34,20	40,95
	KS01312	11,00	12,00	SAP	0,26	0,01	5,92	35,07	40,50
	KS01313	12,00	13,00	BR	0,23	0,01	5,31	36,12	40,87
	KS01314	13,00	14,00	BR	0,23	0,01	5,54	35,38	40,98

No. Lampiran : KS009

Lokasi : PT. Anugerah Bangun Makmur

Foto



//– Nikol

X – Nikol

Lensa Okuler : 10x

Lensa Obvektif : 4x

Perbesaran Total : 40x

Tipe Batuan : Batuan Beku Ultramafik

Tipe Stuktur : Masif

Klasifikasi : Streckeisen (1976)

Mikroskopis :

Warna absorpsi kuning kecoklatan dan warna interferensi coklat dan abu-abu kehitaman. Tekstur batuan kristalinitas hipokristalin, granularitas porfiritik, ukuran mineral 0,1-3,5 mm, bentuk mineral subhedral-anhedral, Komposisi mineral terdiri dari Orthopiroxene, Clinopiroxene, Serpentin (Crysotile), Serpentin (Lizardit), dan Gelas.

Deskripsi Material

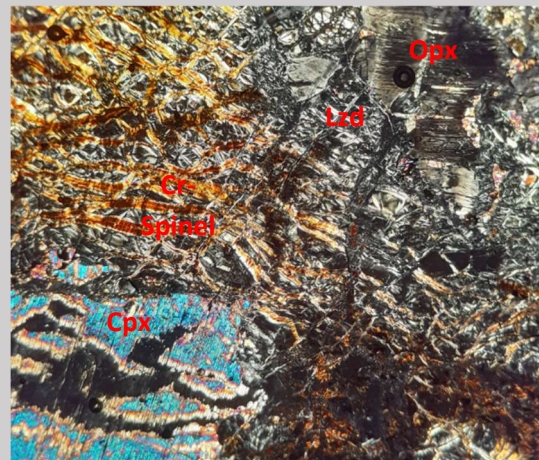
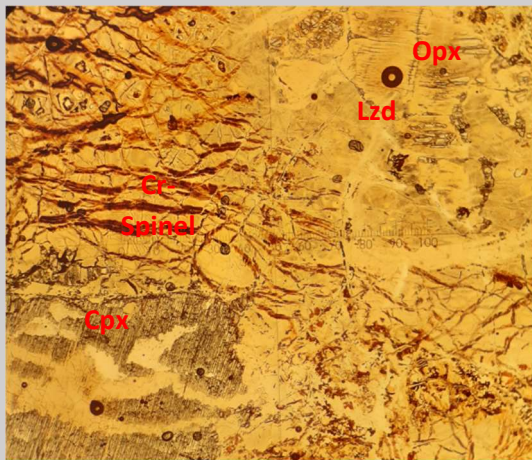
Komposisi Material	Jumlah (%)	Keterangan Optik Material
Orthopiroxene (Opx)	20	Warna absobsi kuning kecoklatan, warna interferensi abu-abu, bentuk Subhedral-anhedral, relief sedang, intensitas sedang, pleokroisme dwikroik, memiliki belahan. Ukuran mineral 0,1-0,15 mm, tidak memiliki kembaran, sudut pepadaman 3°. Indeks bias $N_{min} > N_{cb}$.
Clinopiroxene (Cpx)	30	Warna absobsi kuning kecoklatan, warna interferensi coklat, bentuk subhedral-anhedral, relief sedang, intensitas sedang, pleokroisme dwikroik, memiliki belahan dan pecahan uneven, Ukuran mineral 1,25-3,5 mm, tidak memiliki kembaran, sudut pepadaman 10°. Indeks bias $N_{min} > N_{cb}$.
Serpentin (Crysotile (Cry))	15	Warna absorpsi kuning, warna interferensi coklat dan abu-abu, intensitas rendah, tekstur mineral vein, Indeks bias $N_{min} > N_{cb}$.
Serpentin (Lizardit (Lzd))	25	Warna absorpsi kuning, warna interferensi putih keabu-abuan, intensitas rendah, tekstur mineral mesh, Indeks bias $N_{min} > N_{cb}$.
Cr-spinel	10	Warna absorpsi coklat kehitaman, warna interferensi hitam kecoklatan, relief sedang, intensitas lemah, pecahan tidak rata, bentuk mineral subhedral-anhedral ukuran mineral 0.01 – 0.3 mm, Indeks bias $N_{min} > N_{cb}$.

Nama Batuan : Lherzolite (Streckeisen, 1976)

No. Lampiran : KS010

Lokasi : PT. Anugerah Bangun Makmur

Foto



// – Nikol

X – Nikol

Lensa Okuler : 10x

Lensa Obvektif : 4x

Perbesaran Total : 40x

Tipe Batuan : Batuan Beku Ultramafik

Tipe Stuktur : Masif

Klasifikasi : Streckeisen (1976)

Mikroskopis :

Warna absorpsi kuning kecoklatan dan warna interferensi abu-abu kehitaman, warna-warni. Tekstur batuan kristalinitas hipokristalin, granularitas porfiritik, ukuran mineral 0,25-3,25 mm, bentuk mineral subhedral-anhedral, Komposisi mineral terdiri dari Orthopyroxene, Clinopyroxene, Serpentin (Crysotile), dan Serpentin (Lizardit).

Deskripsi Material

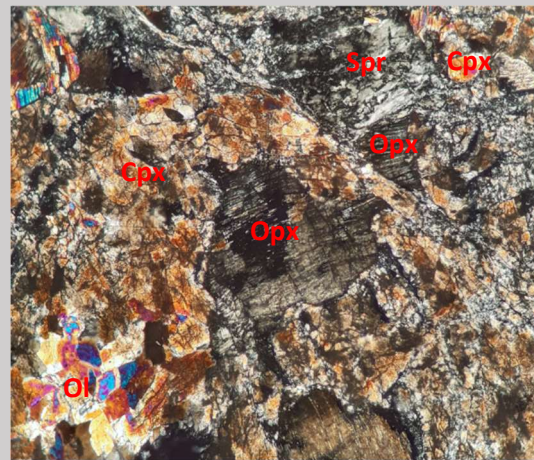
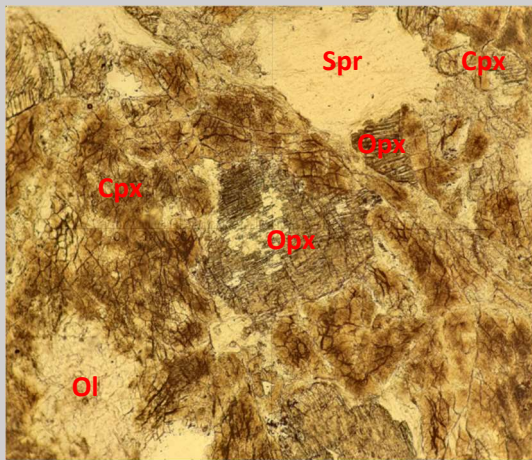
Komposisi Material	Jumlah (%)	Keterangan Optik Material
Orthopyroksen (Opx)	20	Warna absorpsi kuning kecoklatan, warna interferensi abu-abu, bentuk Subhedral-anhedral, relief sedang, intensitas sedang, pleokroisme dwikroik, memiliki belahan. Ukuran mineral 0,5-3,25 mm, tidak memiliki kembaran, sudut pemadaman 4°. Indeks bias $N_{min} > N_{cb}$.
Clinopyroksen (Cpx)	35	Warna absorpsi kuning kecoklatan, warna interferensi coklat pink biru dan kuning, bentuk subhedral-anhedral, relief sedang, intensitas tinggi, pleokroisme dwikroik, memiliki belahan, Ukuran mineral 0,25-0,75 mm, tidak memiliki kembaran, sudut pemadaman 12°. Indeks bias $N_{min} > N_{cb}$.
Cr-Spinel	15	Warna absorpsi coklat kehitaman, warna interferensi hitam kecoklatan, relief sedang, intensitas lemah, pecahan tidak rata, bentuk mineral subhedral-anhedral ukuran mineral 0.01 – 0.3 mm, Indeks bias $N_{min} > N_{cb}$.
Serpentin (Lizardit (Lzd))	30	Warna absorpsi kuning, warna interferensi putih keabu-abuan, intensitas rendah, tekstur mineral mesh, Indeks bias $N_{min} > N_{cb}$.

Nama Batuan : Lherzolite (Streckeisen,1976)

No. Lampiran : KS011

Lokasi : PT. Anugerah Bangun Makmur

Foto



//– Nikol

X – Nikol

Lensa Okuler : 10x

Lensa Obvaktif : 4x

Perbesaran Total : 40x

Tipe Batuan : Batuan Beku Ultramafik

Tipe Stuktur : Masif

Klasifikasi : Streckeisen (1976)

Mikroskopis :

Warna absorpsi kuning kecoklatan dan warna interferensi abu-abu kehitaman, dan warna-warni. Tekstur batuan kristalinitas hipokristalin, granularitas porfiritik, ukuran mineral 0,125 – 1,25 mm, bentuk mineral subhedral-anhedral, Komposisi mineral terdiri dari Orthopyroxene, Clinopyroxene, Olivine, dan Serpentin

Deskripsi Material

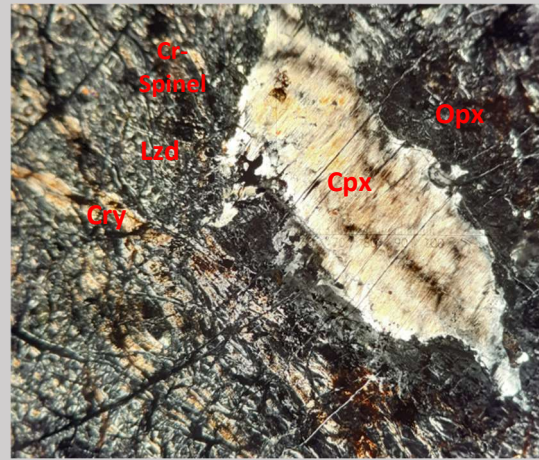
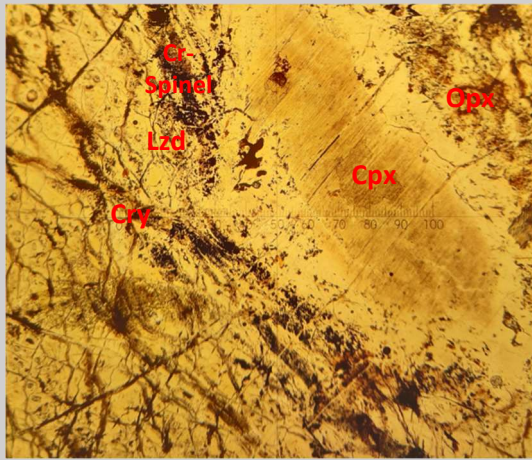
Komposisi Material	Jumlah (%)	Keterangan Optik Material
Orthopyroxen (Opx)	40	Warna absorpsi kuning kecoklatan, warna interferensi abu-abu, bentuk Subhedral-anhedral, relief sedang, intensitas sedang, pleokroisme dwikroik, memiliki belahan. Ukuran mineral 0,875-1,25 mm, tidak memiliki kembaran, sudut pemadaman 5°. Indeks bias $N_{min} > N_{cb}$.
Clinopyroxene (Cpx)	25	Warna absorpsi kuning kecoklatan, warna interferensi coklat, bentuk subhedral-anhedral, relief sedang, intensitas rendah, pleokroisme dwikroik, memiliki belahan, ukuran mineral 0,125-0,25 mm, tidak memiliki kembaran, sudut pemadaman 25°. Indeks bias $N_{min} > N_{cb}$.
Olivine (Ol)	25	Warna absorpsi kuning kecoklatan, warna interferensi coklat pink biru dan kuning, bentuk subhedral-anhedral, relief sedang, intensitas tinggi, pleokroisme dwikroik, tidak memiliki belahan dan pecahan, Ukuran mineral 0,125-0,375 mm, sudut pemadaman 35°. Indeks bias $N_{min} > N_{cb}$.
Serpentin (Spr)	10	Warna absorpsi kuning, warna interferensi putih dan abu-abu, intensitas tinggi, Bentuk anhedral, tekstur mineral bastit, Indeks bias $N_{min} > N_{cb}$.

Nama Batuan : Hazburgite (Streckeisen, 1976)

No. Lampiran : KS012

Lokasi : PT. Anugerah Bangun Makmur

Foto



//– Nikol

X – Nikol

Lensa Okuler : 10x

Lensa Obvaktif : 4x

Perbesaran Total : 40x

Tipe Batuan : Batuan Beku Ultramafik

Tipe Stuktur : Masif

Klasifikasi : Streckeisen (1976)

Mikroskopis :

Warna absorpsi kuning kecoklatan dan warna interferensi abu-abu kehitaman. Tekstur batuan kristalinitas hipokristalin, granularitas porfiritik, ukuran mineral 0,1-3,25 mm, bentuk mineral subhedral-anhedral, Komposisi mineral terdiri dari Orthopiroxene, Clinopiroxene, Serpentin (Crysotile), dan Serpentin (Lizardit).

Deskripsi Material

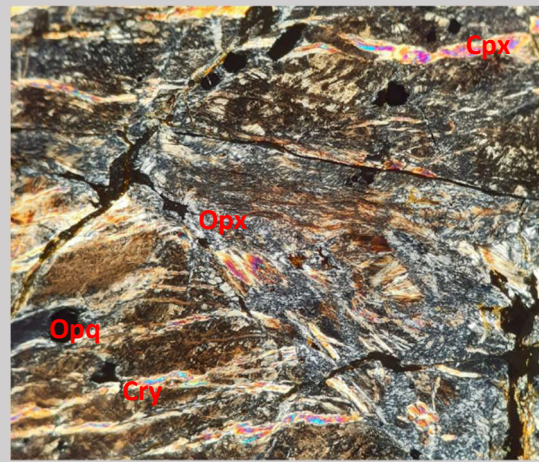
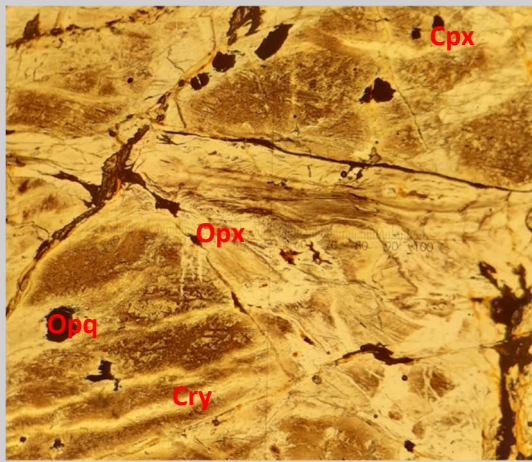
Komposisi Material	Jumlah (%)	Keterangan Optik Material
Orthopiroxene (Opx)	20	Warna absorpsi kuning kecoklatan, warna interferensi abu-abu, bentuk Subhedral-anhedral, relief sedang, intensitas sedang, pleokroisme dwikroik, memiliki belahan. Ukuran mineral 0,1-0,15 mm, tidak memiliki kembaran, sudut pepadaman 4°. Indeks bias $N_{min} > N_{cb}$.
Clinopiroxene (Cpx)	30	Warna absorpsi kuning kecoklatan, warna interferensi coklat, bentuk subhedral-anhedral, relief sedang, intensitas tinggi, pleokroisme dwikroik, memiliki belahan, Ukuran mineral 1,25-3,25 mm, tidak memiliki kembaran, sudut pepadaman 35°. Indeks bias $N_{min} > N_{cb}$.
Serpentin (Crysotile (Cry))	20	Warna absorpsi kuning, warna interferensi coklat, intensitas rendah, tekstur mineral vein, Indeks bias $N_{min} > N_{cb}$.
Serpentin (Lizardit (Lzd))	25	Warna absorpsi kuning, warna interferensi putih keabu-abuan, intensitas rendah, tekstur mineral mesh, Indeks bias $N_{min} > N_{cb}$.
Cr-Spinel	5	Warna absorpsi coklat kehitaman, warna interferensi hitam kecoklatan, relief sedang, intensitas lemah, pecahan tidak rata, bentuk mineral subhedral-anhedral ukuran mineral 0.01 – 0.3 mm, Indeks bias $N_{min} > N_{cb}$.

Nama Batuan : Lherzolite (Streckeisen, 1976)

No. Lampiran : KS013

Lokasi : PT. Anugerah Bangun Makmur

Foto



//– Nikol

X – Nikol

Lensa Okuler : 10x

Lensa Obvektif : 4x

Perbesaran Total : 40x

Tipe Batuan : Batuan Beku Ultramafik

Tipe Stuktur : Masif

Klasifikasi : Streckeisen (1976)

Mikroskopis :

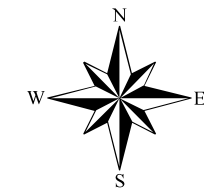
Warna absorpsi kuning kecoklatan dan warna interferensi abu-abu kehitaman, warna-warni. Tekstur batuan kristalinitas hipokristalin, granularitas porfiritik, ukuran mineral 0,25 – 3,25 mm, bentuk mineral subhedral-anhedral, Komposisi mineral terdiri dari Orthopyroxene, Clinopyroxene, Serpentin (Crysotile), dan Mineral Opaq.

Deskripsi Material

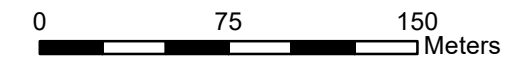
Komposisi Material	Jumlah (%)	Keterangan Optik Material
Orthopyroksen (Opx)	35	Warna absorpsi kuning kecoklatan, warna interferensi abu-abu, bentuk Subhedral-anhedral, relief sedang, intensitas sedang, pleokroisme dwikroik, memiliki belahan. Ukuran mineral 0,25-3,25 mm, tidak memiliki kembaran, sudut pepadaman 2°. Indeks bias $N_{min} > N_{cb}$.
Clinopyroxene (Cpx)	25	Warna absorpsi kuning kecoklatan, warna interferensi coklat pink biru dan kuning, bentuk subhedral-anhedral, relief sedang, intensitas sedang, pleokroisme dwikroik, memiliki belahan, ukuran mineral 0,75-1,25 mm, tidak memiliki kembaran, sudut pepadaman 27°. Indeks bias $N_{min} > N_{cb}$.
Serpentin (Crysotile (Cry))	35	Warna absorpsi kuning, warna interferensi coklat, intensitas rendah, tekstur mineral vein, Indeks bias $N_{min} > N_{cb}$.
Mineral Opaq (Opq)	5	Warna absorpsi hitam, warna interferensi hitam, bentuk subhedral-anhedral, Indeks bias $N_{min} > N_{cb}$

Nama Batuan : Hazburgite (Streckeisen, 1976)

PETA GEOLOGI
 BLOK X PT. ANUGERAH BANGUN MAKMUR,
 KECAMATAN PAGIMANA, KABUPATEN BANGGAI,
 SULAWESI TENGAH





SKALA 1 : 3.000

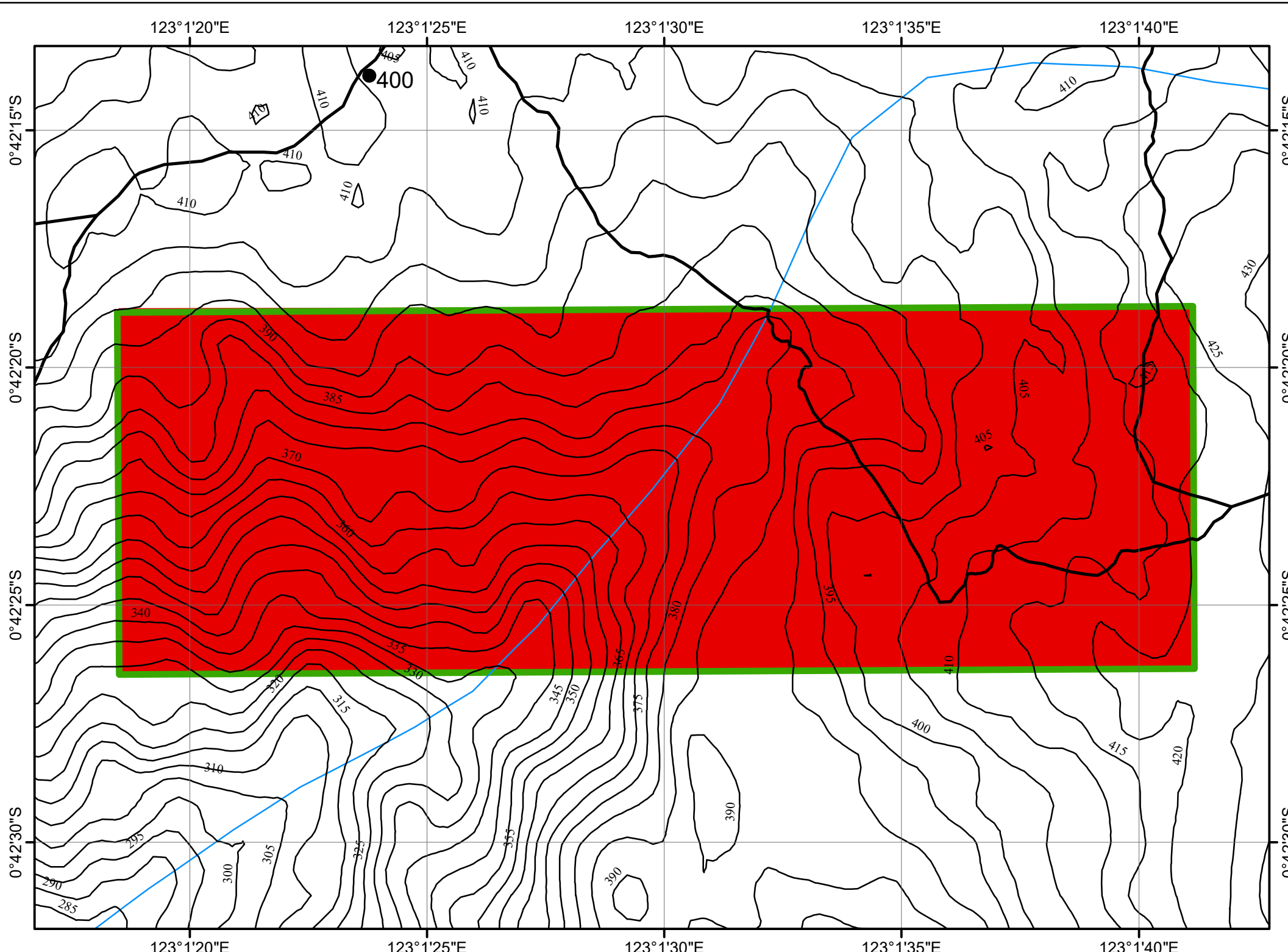


OLEH :
 SALWA SAFITRI IRIANTO
 D061181304

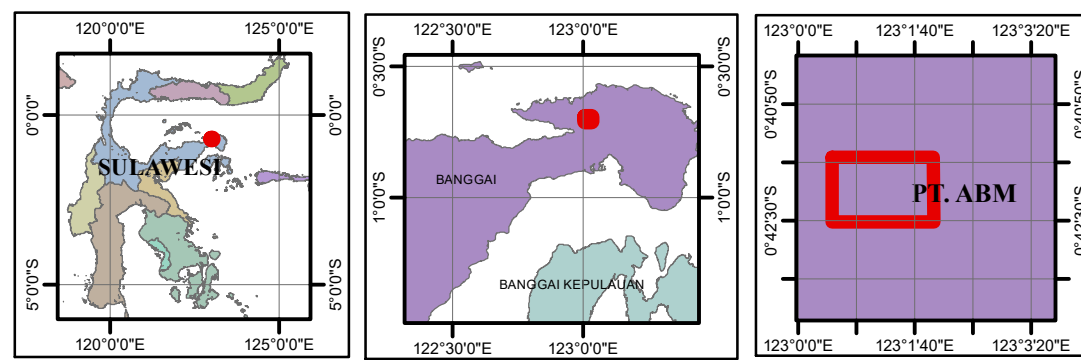
MAKASSAR
 2023

KETERANGAN :

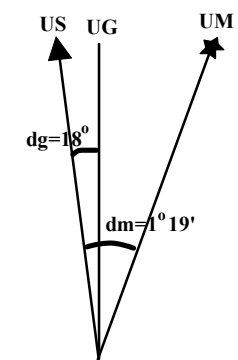
-  : Peridotit
-  : Blok X
-  : Titikketinggian
-  : Kontur
-  : Sungai kecil
-  : Jalan



PETA TUNJUK LOKASI



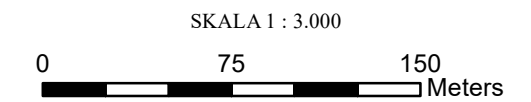
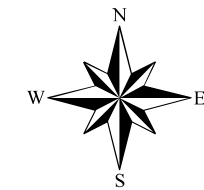
SUDUT INKLINASI



UM = Utara Magnetik (Magnetic North)
 US = Utara Sebenarnya (True North)
 UG = Utara Grid (Grid North)

dm = deklinasi magnetik tahun 1990
 dengan perubahan tiap tahun 2''B
 (magnetic declination in 1990 with
 changing 2''W annually)
 dg = deklinasi grid (grid declination)

PETA TITIK HOLE
 BLOK X PT. ANUGERAH BANGUN MAKMUR,
 KECAMATAN PAGIMANA, KABUPATEN BANGGAI,
 SULAWESI TENGAH

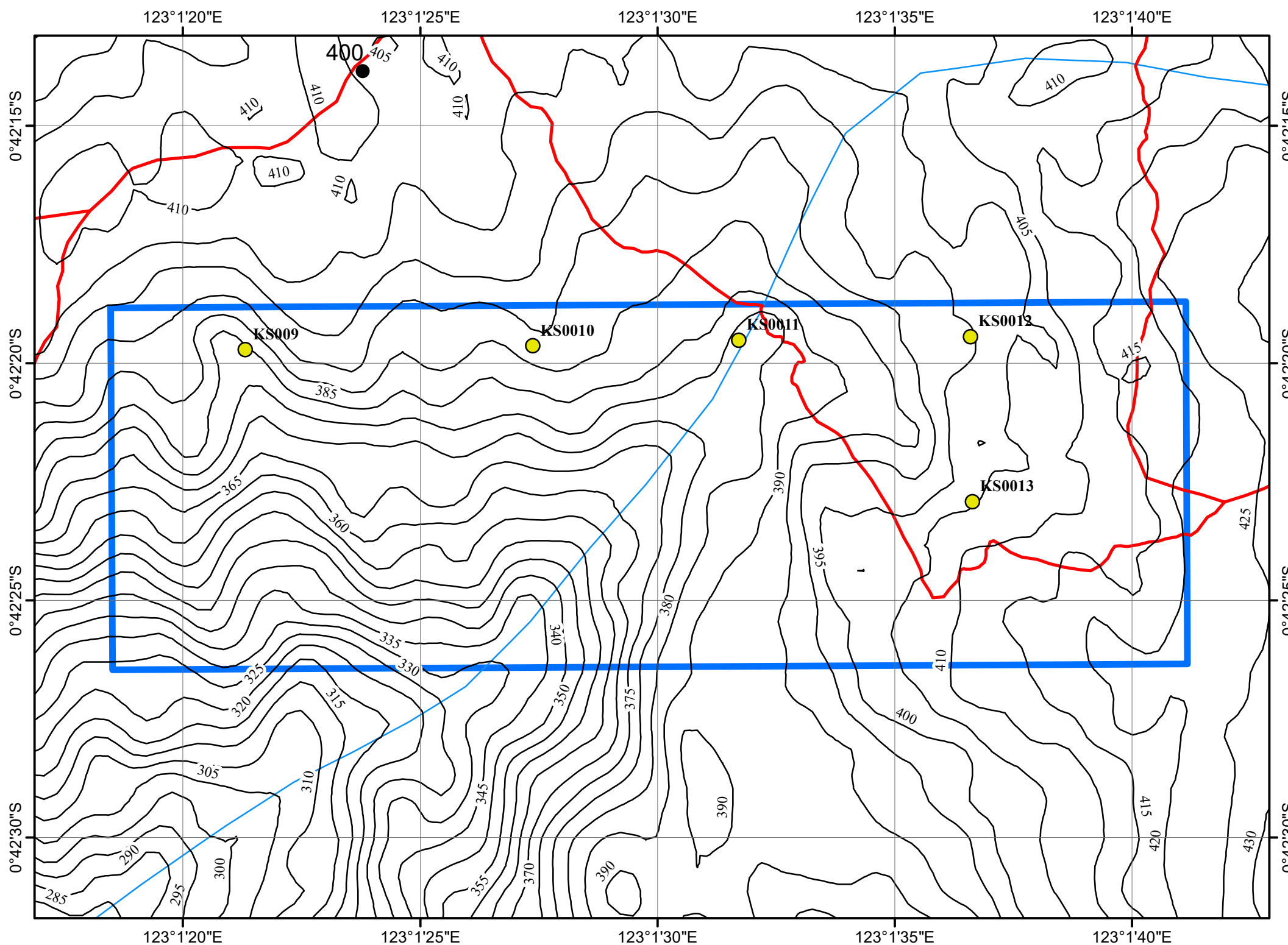


OLEH :
 SALWA SAFITRI IRIANTO
 D061181304

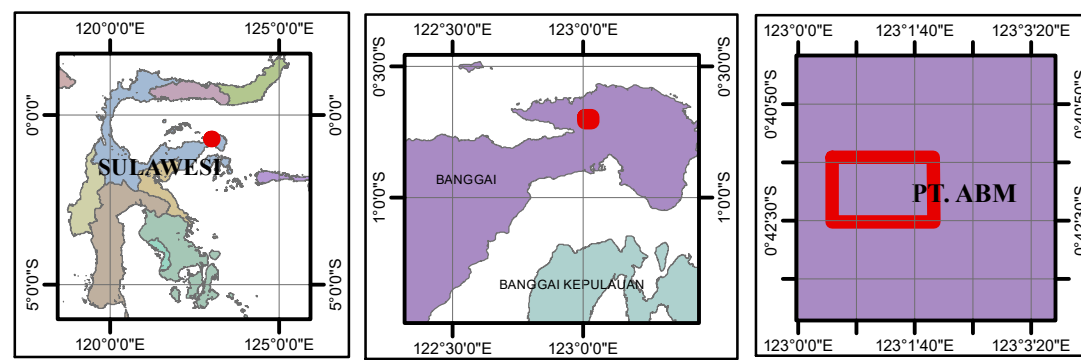
MAKASSAR
 2023

KETERANGAN :

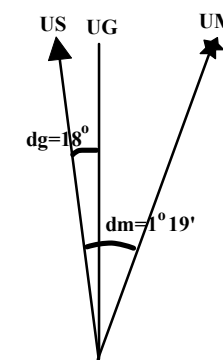
-  : Titik hole
-  : Blok X
-  : Titik ketinggian
-  : Kontur
-  : Sungai kecil
-  : Jalan



PETA TUNJUK LOKASI



SUDUT INKLINASI



UM = Utara Magnetik (Magnetic North)
 US = Utara Sebenarnya (True North)
 UG = Utara Grid (Grid North)

dm = deklinasi magnetik tahun 1990
 dengan perubahan tiap tahun 2''B
 (magnetic declination in 1990 with
 changing 2''W annually)
 dg = deklinasi grid (grid declination)